

## ПИСЬМА В РЕДАКЦИЮ

УДК 534.222

## ПОВЫШЕНИЕ ДОБРОТНОСТИ НЕЛИНЕЙНОГО АКУСТИЧЕСКОГО РЕЗОНАТОРА С ПОМОЩЬЮ СЕЛЕКТИВНО ПОГЛОЩАЮЩЕГО ЗЕРКАЛА

Андреев В. Г., Гусев В. Э., Карабутов А. А., Руденко О. В., Сапожников О. А.

С ростом амплитуды вынужденных колебаний в акустическом резонаторе происходит их нелинейное ограничение за счет перекачки энергии в высшие гармоники, которые сильно диссирируют [1–3]. Добротность резонатора уменьшается. В работах [4, 5] показано, что введение в среду резонансного поглотителя на частоте 2-й гармоники позволяет увеличить расстояние, на которое сигнал распространяется без заметных нелинейных искажений. Аналогичную идею можно использовать для повышения добротности резонатора при больших мощностях накачки [6].

Эксперименты выполнены с открытым резонатором (см. фиг. 1). Держатель излучателя 1 закреплялся в карданном подвесе и имел две степени свободы по углам для точной юстировки параллельности излучателя 2 и зеркала 3. Перемещением зеркала 3 производилась настройка на определенную продольную моду резонатора. Карданный подвес и держатель зеркала 4 соединялись тремя стержнями, что придавало жесткость всей конструкции. Длина резонатора  $L$  составляла 15 см. Излучателем служил диск из пьезокерамики ЦТС-19 диаметром 3 см.

Измерения проводились с зеркалами из дюралюминия двух видов. Их отражающая поверхность – часть сферы радиуса 40 см. Толщина неселективного зеркала 2 см. Толщина селективно отражающего зеркала на частоте  $v \sim 1$  МГц составляла  $3\lambda/4$ , где  $\lambda$  – длина волн в материале зеркала. Коэффициенты прохождения  $T$  и отражения  $R$  зеркал на 1-й и 2-й гармониках были измерены экспериментально. Для неселективного зеркала  $R \approx 0.98$  и 0.94, для селективного – 0.99 и 0.60.

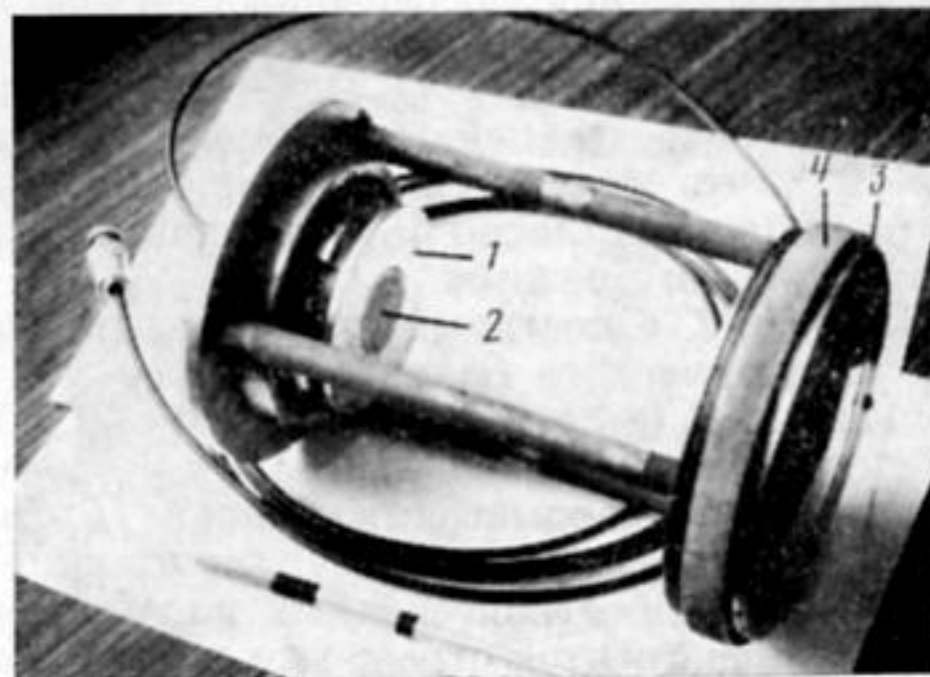
Эксперименты проводились в заглушенном гидробассейне с размерами  $2 \times 0.8 \times 0.8$  м<sup>3</sup>. Гармонический сигнал с синтезатора частот Ч6-31 поступал на усилитель мощности и затем на излучатель 2. Выходящая из резонатора волна принималась широкополосным точечным гидрофоном на расстоянии 3–4 см от зеркала. Сигнал с гидрофона, калиброванного на частотах 1 и 2 МГц, поступал на спектроанализатор С4-25.

Ширина линии резонатора, зависящая от накачки, измерялась по уровню –3 дБ от максимального значения амплитуды волны в центре линии. Измерение уровня накачки проводилось при снятом зеркале. Устанавливалось напряжение на излучателе и измерялось звуковое давление. Положение регулировочного потенциометра фиксировалось. Зависимость ширины линии от накачки снималась при тех же положениях.

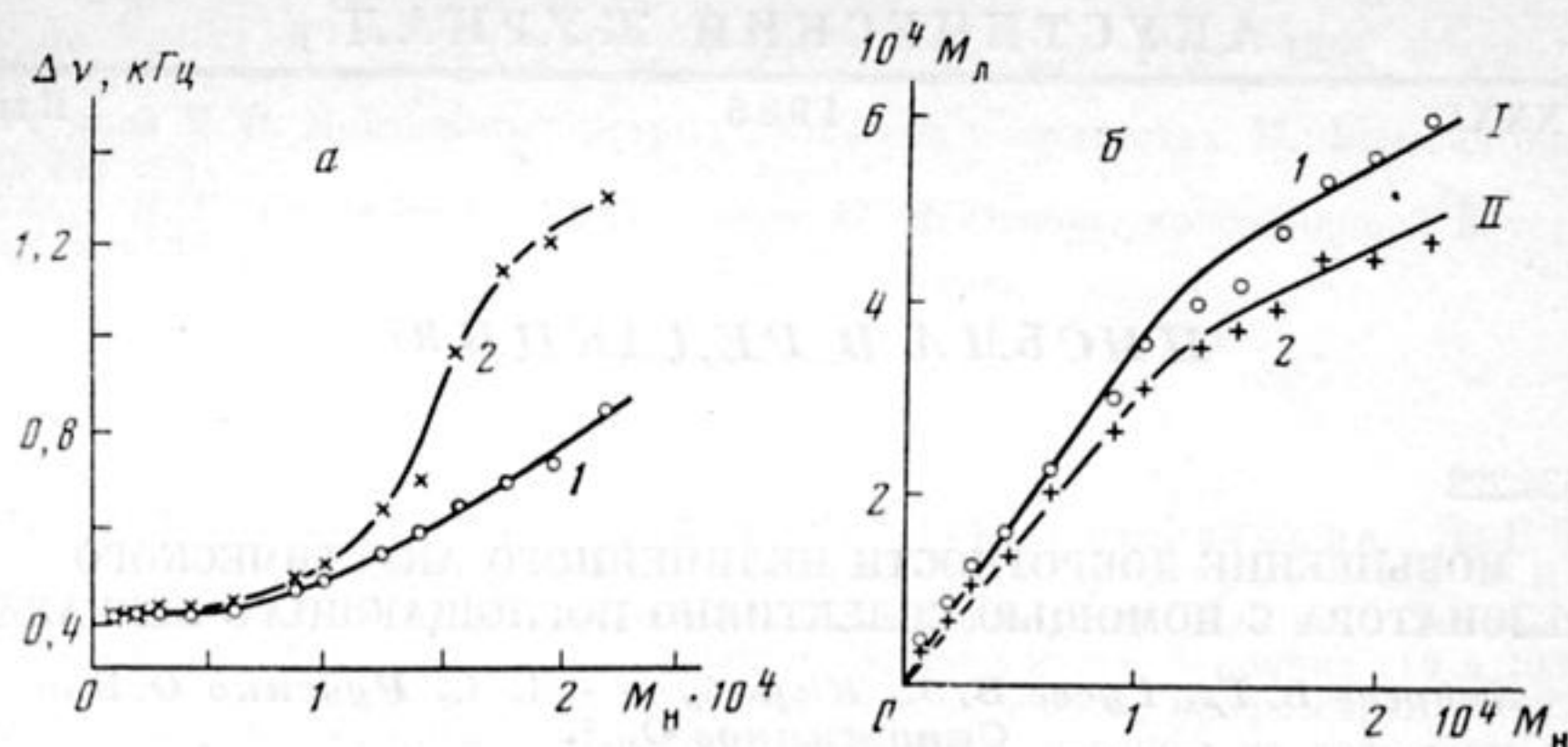
Результаты измерений представлены на фиг. 2, а. При небольших числах Маха в волне накачки ( $M_n \leq (0.6 \div 0.8) \cdot 10^{-4}$ ) ширина линии резонатора не зависит от накачки и определяется диссипативными и дифракционными потерями. При  $M_n > 0.6 \cdot 10^{-4}$  ширина линии резонатора с неселективным зеркалом начинает резко возрастать, что свидетельствует о существенном увеличении нелинейных потерь. В резонаторе с селективным зеркалом эта тенденция проявляется гораздо слабее, добротность селективного резонатора выше в 2 раза.

Зависимости чисел Маха 1-й гармоники  $M_1$  внутри резонатора на центральной частоте от уровня накачки представлены на фиг. 2, б. При неселективном зеркале линейный рост волны наблюдается до  $M_n, \text{крит.} \sim 0.6 \cdot 10^{-4} \div 0.8 \cdot 10^{-4}$ . Использование селективного «поглотителя» позволило расширить область линейного режима и заметно увеличить амплитуду волны в области нелинейного ограничения ( $M_n \sim 2 \cdot 10^{-4}$ ).

При теоретическом анализе использовалась модель резонатора с одной свободной (излучатель), а другой – жесткой (зеркало) границами. Нелинейные потери «включаются» в таком резонаторе только при таких уровнях накачки, когда в про-



Фиг. 1. Общий вид акустического резонатора



Фиг. 2. а — зависимость ширины линии  $\Delta\nu$  резонатора от числа Маха накачки; 1 — селективное, 2 — неселективное зеркала; б — зависимость числа Маха 1-й гармоники от числа Маха накачки ( $v_0=1$  МГц): 1 — селективное, 2 — неселективное зеркала; кривые I, II — теоретические зависимости

филе волны разрыв образуется при одном пробеге резонатора [2]:  $l_p \leq 2L$ , где  $l_p = c_0/2\pi v M_1$  — длина образования разрыва,  $c_0$ ,  $v$  — скорость звука и нелинейный параметр воды. На границе линейного режима по результатам эксперимента можно оценить  $M_1 \sim M_{\text{н}}/\gamma_{\text{лин}}$ , где  $(\gamma_{\text{лин}})^{-1}$  — тангенс наклона линейного участка на фиг. 2, б; он характеризует линейные потери в резонаторе. Тогда условие  $l_p \leq 2L$  дает  $M_{\text{н, крит}} \sim 0.7 \cdot 10^{-4}$ , что согласуется с данными эксперимента. Дополнительное поглощение 2-й гармоники, согласно [5], увеличивает  $l_p$  и тем самым расширяет область реализации линейного режима.

На фиг. 2, б построены зависимости, полученные с помощью модельного уравнения энергетического баланса, которое учитывает рост нелинейных потерь по мере уменьшения  $l_p(\gamma_1, \gamma_2)$  по сравнению с  $2L$ . Подчеркнем, что в отличие от [2, 7] в данной ситуации разрывные колебания не возникают сразу во всем резонаторе (ср. [1]). Подгоночными параметрами кривой II были коэффициенты линейных потерь [6] первой ( $\gamma_1 = \gamma_{\text{лин}}$ ) и второй ( $\gamma_2$ ) гармоник. Кривая I для случая селективного зеркала строилась уже без подгоночных параметров: полагаем, что  $\gamma_{i, \text{сел}} = \gamma_i - \Delta R_i$ , где изменения коэффициентов отражения зеркала на частотах 1-й и 2-й гармоник  $\Delta R_i$  ( $i=1, 2$ ) определялись экспериментально.

Выделим основной результат исследований: введением дополнительного селективного «поглотителя» 2-й гармоники повышена добротность нелинейного акустического резонатора. Таким образом, получено прямое экспериментальное подтверждение возможности управления процессами нелинейной перекачки энергии в системах, обладающих селективным поглощением на специально выбранных частотах.

#### ЛИТЕРАТУРА

1. Зарипов Р. Г. Нелинейные колебания газа в открытой трубе. — Акуст. журн. 1977, т. 23, № 3, с. 378—382.
2. Островский Л. А. О разрывных колебаниях в акустическом резонаторе. — Акуст. журн. 1974, т. 20, № 1, с. 140—142.
3. Канер В. В., Карабутов А. А., Руденко О. В. Нелинейные эффекты в акустических резонаторах. — В кн.: Нелинейная акустика / Под ред. Зверева В. А., Островского Л. А. Горький: Изд. ИПФ АН СССР, 1980, с. 98—107.
4. Андреев В. Г., Руденко О. В. Об одном способе подавления нелинейных искажений и эффективного удвоения частоты интенсивной звуковой волны. — Докл. X Всесоюзн. конф. Б. М.: АКИН, 1983.
5. Руденко О. В. К проблеме искусственных нелинейных сред с резонансным поглотителем. — Акуст. журн. 1983, т. 29, № 3, с. 398—402.
6. Гусев В. Э. Частотно-избирательное воздействие на нелинейные волны в акустическом резонаторе. — Вестник Моск. ун-та, сер. физ., астрон., 1984, т. 25, № 6, с. 28—33.
7. Гусев В. Э. Установление вынужденных колебаний в акустических резонаторах. — Акуст. журн. 1984, т. 30, № 2, с. 204—212.

Московский государственный университет  
им. М. В. Ломоносова

Поступило в редакцию  
28.XI.1984